

## تحلیل اندرکنش دینامیکی سرریز و پی سد بارزو شیروان با استفاده از روش المان مرزی

بابک امیدوار<sup>\*</sup>، محمد رحیمیان<sup>۲</sup> و علیرضا صنایعی‌ها<sup>۳</sup>

<sup>۱</sup>دانشیار دانشکده محیط زیست، دانشگاه تهران

<sup>۲</sup>استاد دانشکده مهندسی عمران، پردیس دانشکده‌های فنی، دانشگاه تهران

<sup>۳</sup>دانشجوی دکتری سازه، پردیس دانشکده‌های فنی، دانشگاه تهران

### چکیده

بزرگنمایی حاصل از توپوگرافی و محیط اطراف سازه، در خرابی‌های مشاهده شده در اثر زلزله نقش زیادی داشته است. در این مقاله به بررسی اندرکنش دینامیکی سرریز نیلوفری با پی در فضای فرکانسی پرداخت شده است. با توجه به محل قرارگیری سازه امکان وقوع زلزله در زمانی که اطراف سرریز آب نیست، وجود دارد. بنابراین در نظر گرفتن سرریز در حالتی که تنها تحت تأثیر پی قرار دارد موضوع مهمی می‌باشد و بایستی به طور کامل مورد بررسی قرار گیرد. روش به کار رفته در تحقیق حاضر، روش المان مرزی می‌باشد. ابتدا هر یک از محیط‌ها به صورت مجزا مدل گردیده و سپس مدلی که شامل هر دو محیط می‌باشد، ارائه شده است. نتایج برای هر یک از مدل‌ها به طور مجزا ارائه شده و اثر محیط اطراف سرریز بر روی پاسخ دینامیکی آن مورد بررسی قرار گرفته است. در این بررسی کلیه پارامترهای مؤثر نظیر شکل ناهمواری، خواص مکانیکی مصالح (جرم حجمی، ضریب پاآسن، مدول برشی)، فرکانس تحربیک، نوع موج برخوردی، آزمیوت و زاویه برخورد آن در تحلیل دینامیکی سازه درنظر گرفته شده است. نتایج به دست آمده حاکی از آن است که در نظر گرفتن اندرکنش سازه با محیط اطراف آن، اثر قابل توجهی بر روی تحلیل دینامیکی سازه می‌گذارد.

**واژگان کلیدی:** اندرکنش خاک و سازه، روش المان مرزی، حوزه فرکانسی، سرریز نیلوفری.

### ۱- مقدمه

اندرکنش خاک و سازه در بیشتر حالات به صورت تحلیل خطی در نظر گرفته شده است. بر اساس این فرض سیستم خاک-سازه می‌تواند در فضای فرکانسی با استفاده از روش زیر سازه<sup>۱</sup> تحلیل شود. در واقع ابتدا خصوصیات دینامیکی پی مطالعه شده، سپس پی به سازه اصلی وصل می‌شود.

Wong و Luco<sup>[۹]</sup> ماتریس نرمی دینامیکی پی بدون جرم صلب سطحی را که بر روی یک محیط نیمه بینهایت الاستیک قرار گرفته بود، به وسیله تقسیم کردن سطح مشترک خاک و پی به تعدادی المان بررسی نمودند. همچنین فرض گردید بردارهای تنش به صورت یکنواخت در هر المان تقسیم می‌شوند و رابطه بین بردارهای تنش بر روی یک المان و تغییر مکان‌ها بر روی سطح خاک به وسیله انتگرال‌گیری از حل لمب<sup>۲</sup> بدست می‌آید. در واقع این روش یک روش المان مرزی با استفاده از حل اساسی در محیط نیمه بینهایت می‌باشد. با این حال انتگرال‌گیری از این حل اساسی تنها برای پی‌های سطحی قابل استفاده بود.

1- Substructure technique

2- Lamb's solution

همچنان که در مراجع [۸-۱] اشاره شده است، بزرگنمایی حاصل از توپوگرافی و جنس خاک اطراف سازه، در خرابی‌های مشاهده شده در اثر زلزله نقش زیادی داشته است. در واقع حرکت امواج در یک محیط علاوه بر خواص مکانیکی آن، تا حد زیادی به شرایط مرزی موجود بستگی دارد. در راستای کاهش خطرات ناشی از زلزله، بررسی اثر محیط اطراف سازه بر روی پاسخ دینامیکی آن الزاماً به نظر می‌رسد. هنگامی که زلزله‌ای اتفاق می‌افتد محیط‌های کنار هم تشکیل سیستمی را می‌دهند، به گونه‌ای که برای تحلیل، نباید آن‌ها را به طور جدا از هم در نظر گرفت. همچنین ممکن است تغییرات خصوصیات خاک یا شکل مخزن اثر مهمی بر پاسخ لرزه‌ای سازه داشته باشد. سازه‌های با شکل دلخواه و با شرایط مرزی وابسته به زمان، نیازمند تحلیل به وسیله روش‌های عددی می‌باشند. بررسی نحوه مدل‌سازی اندرکنش دینامیکی سازه‌ها با محیط اطرافشان از دیرباز مورد توجه محققین بوده است. روش‌های مختلفی توسط پژوهشگران برای در نظر گرفتن اثر محیط اطراف سازه بر روی رفتار دینامیکی آن‌ها بکار گرفته شده است که در میان آن‌ها، روش‌های اجزاء محدود و المان‌های مرزی فراگیرتر هستند.

فرمول‌بندی‌ها و نرم‌افزار تهیه شده، مثال‌هایی بررسی گردیده است. در نهایت مثال موردی استفاده شده در این تحقیق که سریز نیلوفری مربوط به سد بارزو شیروان می‌باشد، ارائه شده است. سد بارزو شیروان در ۴۰ کیلومتری شمال شیروان در استان خراسان واقع گردیده است. هدف از احداث این سد، تأمین سالانه ۴/۱۳ میلیون متر مکعب آب آشامیدنی شهر شیروان و همچنین تأمین بخشی از نیاز آبی اراضی دشت شیروان (۳۱) میلیون متر مکعب) می‌باشد. نوع سد بارزو شیروان، بتنی دو قوسی بوده که ارتفاع سد و طول تاج آن به ترتیب برابر با ۸۳ متر و ۳۲۵ متر می‌باشد. حجم بدنه سد ۲۳۰۰۰ متر مکعب و حجم مخزن ۹۲ میلیون متر مکعب می‌باشد. لازم به ذکر است که در تمامی مثال‌های ارائه گردیده در این مقاله، محیط سازه و پی به صورت همگن، خطی و الاستیک فرض شده‌اند. فرض رفتار الاستیک و خطی برای پی بر این اساس می‌باشد که جنس مصالح بستر سریز نیلوفری از سنگ آهک بوده که نمودار تشکیل آن به صورت خطی می‌باشد [۲۱].

## ۲- فرمول‌بندی روش المان مرزی در فضای فرکانسی

در این قسمت خلاصه‌ای از فرمول‌بندی روش المان مرزی در فضای فرکانسی ارائه می‌شود. روش المان مرزی استفاده شده در این تحقیق با استفاده از حل اساسی استوکس در محیط بینهایت الاستودینامیک با فرض خطی و همگن بودن محیط بدست آمده است. در حل مسائل الاستودینامیک معادله حاکم بر محیط معادله ناوار است [۲۰]

$$(\lambda + \mu)u_{i,ij} + \mu u_{j,ii} + \rho b_j = \ddot{u}_i \quad (1)$$

معادله فوق، معادله حاکم بر رفتار یک جسم الاستیک ایزوتروپ با حجم  $V$  و سطح  $\Gamma$  می‌باشد. در این معادله  $\lambda$  و  $\mu$  ضرایب لامه،  $u$  تغییرمکان،  $b$  نیرو در واحد حجم و  $\rho$  چگالی مصالح می‌باشد. با تعریف سرعت انتشار موج فشاری (طولی) به شکل  $C_1^2 = (\lambda + 2\mu)/\rho$  و موج بررشی به شکل  $C_2^2 = \mu/\rho$  معادله (۱) را می‌توان به شکل زیر بازنویسی کرد:

$$(C_1^2 - C_2^2)u_{i,ij} + C_2^2 u_{j,ii} + b_j = \ddot{u}_i \quad (2)$$

حال حجم  $V$  را که در قسمت قبل فرض شد، با سطح  $\Gamma$  در نظر بگیرید. با استفاده از قضیه تقابل بتنی، معادله حاکم بر حجم مساله ( $V$ ) را می‌توان به معادله حاکم بر مرز محیط ( $\Gamma$ ) تبدیل

تحلیل پاسخ سازه‌ها به موج برخوردی به آن‌ها برای حفره‌ها و مواعن در تحقیقات زیادی بررسی شده است. بیشتر حل‌های دقیق انجام گرفته در این مورد مربوط به مدل‌های دو بعدی خارج صفحه می‌شود [۱۰ و ۱۱].

فرمول‌بندی مستقیم روش المان مرزی به راحتی برای مسائل اندرکنش قابل کاربرد می‌باشد. فرمول‌بندی فضای فرکانسی برای اولین بار برای محاسبه و بدست آوردن ماتریس سختی پی مستطیلی قرار گرفته یا مدفون در داخل یک محیط نیمه بینهایت ویسکو-الاستیک توسط Dominguez و محققان دیگر بررسی گردیده است [۱۴-۱۲]. همچنین برای خاک غیرهمگن هم توسط Abascal و محققان دیگر به کار گرفته شده است [۱۵]. Apsel با استفاده از روش المان مرزی غیرمستقیم در ترکیب با توابع گرین نیمه واضح<sup>۱</sup> ماتریس سختی پی‌های دایروی مدفون در خاک چند لایه را محاسبه نمود [۱۶]. همچنین محاسبه سختی دینامیکی پی دایروی سطحی یا مدفون در خاک چند لایه با استفاده از روش المان مرزی مستقیم توسط Lera-Gomez و همکاران [۱۷]، Alarcon [۱۸] و همکاران [۱۹]

Emperador در روش المان مرزی معادلات دیفرانسیلی حاکم به معادلات انتگرالی تبدیل شده که روی مرز اعمال می‌شوند. سپس مرز به قطعات مرزی (المان‌های مرزی) تقسیم‌بندی می‌شود و انتگرال‌گیری عددی روی المان‌های مرزی انجام می‌گیرد. همانند روش‌های عددی دیگر، با اراضی شرایط مرزی، یک سیستم معادلات خطی جبری حاصل می‌شود که از حل آن جواب یکتاً مسئله بدست می‌آید [۲۰].

مزیت اصلی استفاده از روش المان مرزی در مسائل اندرکنش بر پایه دو موضوع می‌باشد:

- تنها مرز مدل نیاز به المان‌بندی دارد.
- محیط بینهایت بطور طبیعی در تحلیل درنظر گرفته می‌شود.

این دو مزیت، روش المان مرزی را به روشی قوی و مناسب برای تحلیل دینامیکی سازه‌هایی که در تماس یا مدفون در خاک یا محیط‌های دیگر همچون آب هستند، تبدیل می‌نماید. به منظور تحلیل اندرکنش دینامیکی سازه‌ها با استفاده از روش المان مرزی، نویسنده‌گان مقاله حاضر برنامه‌ای در محیط برنامه Fortran تهیه نموده‌اند. در این تحقیق ابتدا فرمول‌بندی حاکم بر مسئله ارائه شده و سپس به منظور بررسی صحت

<sup>۱</sup> Semi-explicit

با استفاده از توابع شکلی درجه دو،  $u_s$  و  $t_s$  روی هر المان بر حسب مقادیر گرهی آن المان در ۳ جهت دستگاه مختصات به صورت زیر تقریب زده می‌شوند [۲۰]:

$$u_s = \begin{pmatrix} u_1 \\ u_2 \\ u_3 \end{pmatrix} = \begin{bmatrix} \varphi_1 & 0 & 0 & \varphi_2 & 0 & 0 & \dots \\ 0 & \varphi_1 & 0 & 0 & \varphi_2 & 0 & \dots \\ 0 & 0 & \varphi_1 & 0 & 0 & \varphi_2 & \dots \end{bmatrix}$$

$$\varphi_M \quad 0 \quad 0 \\ 0 \quad \varphi_M \quad 0 \\ 0 \quad 0 \quad \varphi_M \end{bmatrix} \begin{pmatrix} u_1^1 \\ u_2^1 \\ u_3^1 \\ \vdots \\ u_1^M \\ u_2^M \\ u_3^M \end{pmatrix} = \Phi u_s^j$$

$$t_s = \begin{pmatrix} t_1 \\ t_2 \\ t_3 \end{pmatrix} = \begin{bmatrix} \varphi_1 & 0 & 0 & \varphi_2 & 0 & 0 & \dots \\ 0 & \varphi_1 & 0 & 0 & \varphi_2 & 0 & \dots \\ 0 & 0 & \varphi_1 & 0 & 0 & \varphi_2 & \dots \end{bmatrix}$$

$$\varphi_M \quad 0 \quad 0 \\ 0 \quad \varphi_M \quad 0 \\ 0 \quad 0 \quad \varphi_M \end{bmatrix} \begin{pmatrix} t_1^1 \\ t_2^1 \\ t_3^1 \\ \vdots \\ t_1^M \\ t_2^M \\ t_3^M \end{pmatrix} = \Phi t_s^j$$

که در این رابطه  $M$  تعداد گره‌های المان زمی باشد. به این ترتیب انتگرال‌های معادله (۴) روی المان  $j$  به صورت زیر محاسبه خواهد شد [۲۰]:

$$\int_{\Gamma_j} u_s^i t^* d\Gamma = \left\{ \int_{\Gamma_j} \Phi t^* d\Gamma \right\} u_s^j$$

$$\int_{\Gamma_j} t_s u^* d\Gamma = \left\{ \int_{\Gamma_j} \Phi u^* d\Gamma \right\} t_s^j \quad (6)$$

در رابطه فوق انتگرال‌های داخل آکولاد به روش عددی گوس محاسبه می‌شوند. در نهایت معادله انتگرال مرزی تغییر مکانی (۴) با استفاده از تقریب‌های فوق به صورت زیر در می‌آید [۲۰]:

$$c^i u_s^i + \sum_{j=1}^{NE} \left\{ \int_{\Gamma_j} \Phi t^* d\Gamma \right\} u_s^j = \sum_{j=1}^{NE} \left\{ \int_{\Gamma_j} \Phi u^* d\Gamma \right\} t_s^j \quad (7)$$

نمود. معادله (۳) نشان دهنده معادله حاکم بر مرز مسائل فیزیکی می‌باشد [۲۰].

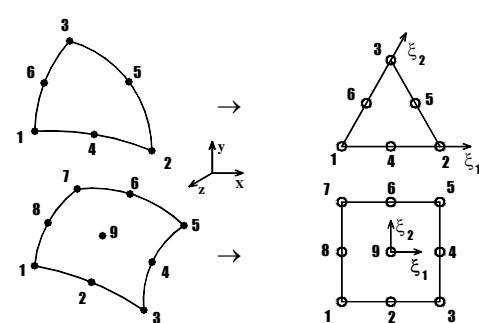
$$c^i u_s^i + \int_{\Gamma} u_s t^* d\Gamma = \int_{\Gamma} t_s u^* d\Gamma \quad (3)$$

در این رابطه  $\Gamma$  مرز مسئله،  $u^*$  و  $t^*$  به ترتیب پاسخ‌های اساسی جابه‌جایی و بردار تنفس و  $u_s$  و  $t_s$  به ترتیب بردار جابه‌جایی و بردار تنفس مرزی برای هر نقطه روی مرزهای می‌باشند.

در روش المان مرزی ابتدا مرز  $\Gamma$  به  $NE$  المان مرزی تقسیم می‌شود. هر المان مرزی از  $n$  گره تشکیل شده است و تعداد کل گره‌ها  $N$  می‌باشد. با استفاده از روش روی هم‌گذاری نقاط، معادله انتگرال مرزی نشان داده شده در رابطه (۳) برای نقطه  $i$  ام به صورت زیر در می‌آید [۲۰]:

$$c^i u_s^i + \sum_{j=1}^{NE} \left\{ \int_{\Gamma_j} u_s t^* d\Gamma \right\} = \sum_{j=1}^{NE} \left\{ \int_{\Gamma_j} t_s u^* d\Gamma \right\} \quad (4)$$

که در این رابطه  $\Gamma_j$  سطح المان  $j$  ام،  $u^*$  و  $t^*$  به ترتیب ماتریس پاسخ‌های اساسی جابه‌جایی و بردار تنفس و  $u_s$  و  $t_s$  به ترتیب بردار جابه‌جایی و بردار تنفس مرزی برای هر نقطه روی مرزهای می‌باشند. برای هر مؤلفه  $k$ ، مقادیر  $u_k$  و  $t_k$  در هر نقطه از المان مرزی بر حسب مقادیر گرهی  $u_k^j$  و  $t_k^j$  تعیین می‌شود. بدین منظور از توابع شکلی  $\Phi$  که بر حسب مختصات طبیعی  $\xi_1$  و  $\xi_2$  می‌باشد ( $-1 \leq \xi_1, \xi_2 \leq 1$ )، استفاده می‌گردد. این توابع در مرجع [۲۰] ارائه شده است. شکل (۱) تبدیل سیستم مختصات کلی  $x - y - z$  به مختصات طبیعی  $\xi_1 - \xi_2$  را نشان می‌دهد.



شکل ۱- المان‌های مرزی درجه دو مثلثی و چهار ضلعی و تبدیل از سیستم مختصات کلی  $x - y - z$  به مختصات طبیعی

$$\xi_1 - \xi_2$$

بینهایت  $u_h$  و میدان جابه‌جایی مربوط به محیط بسته  $u_v$  می‌باشد. شرط مرزی تنش صفر بر روی سطح آزاد زمین اعمال می‌شود:

$$\begin{aligned} t_h &= 0 & \Gamma_a & \text{بر روی} \\ t_v &= 0 & \Gamma_c & \text{بر روی} \end{aligned} \quad (12)$$

در محیط نیمه بینهایت  $\Omega_h$ ، میدان جابه‌جایی کل  $u_h$  و بردار تنش کل  $t_h$  با استفاده از اصل جمع آثار قوا از مجموع میدان آزاد و میدان تفرق یافته حاصل می‌شوند [۲۲]:

$$\begin{aligned} u_h &= u_s + u_0 \\ t_h &= t_s + t_0 \end{aligned} \quad (13)$$

با توجه به این‌که بردار تنش کل روی مرز  $\Gamma_a$  صفر می‌باشد، برای بردار تنش مربوط به امواج تفرق یافته رابطه زیر برقرار خواهد بود:

$$t_s = -t_0 \quad \Gamma_a \quad \text{بر روی} \quad (14)$$

جابه‌جایی‌ها و بردارهای تنش مربوط به محیط نیمه بینهایت ناشی از امواج تفرق یافته، با استفاده از روش المان مرزی از رابطه ماتریسی زیر حاصل می‌شوند [۲۲]:

$$H_h u_s - G_h t_s = 0 \quad (15)$$

ماتریس‌های تأثیری هستند که به ترتیب از انتگرال‌گیری هسته‌های جابه‌جایی و بردار تنش روی مرز محیط نیمه بینهایت حاصل می‌شوند. با مراجعت به شکل (۲) رابطه (۱۵) به فرم واضح‌تر زیر در می‌آید [۲۲]:

$$H_h [u_s^a + u_s^d] - G_h [t_s^a + t_s^d] = 0 \quad (16)$$

با اعمال شرط مرزی تنش صفر بر روی مرز  $\Gamma_a$  رابطه (۱۶) به صورت زیر در می‌آید [۲۲]:

$$H_h [u_s^a + u_s^d] - G_h t_s^d = -G_h t_0^a \quad (17)$$

در رابطه ماتریسی فوق، جابه‌جایی‌ها و بردارهای تنش مربوط به فصل مشترک دو محیط یعنی  $u_s^d$ ،  $t_s^d$  و همچنین  $u_s^a$  مجھول می‌باشند. جابه‌جایی‌ها و بردارهای تنش کل مربوط به محیط

$u_s^j$  و  $t_s^j$  در رابطه (۷) بردارهای تغییرمکان و تنش مرزی می‌باشند. به دلیل آن‌که فرمول‌بندی عددی بر حسب مختصات طبیعی  $\xi_1$  و  $\xi_2$  می‌باشد، تبدیل دیفرانسیل سطح در مختصات کارتزین یعنی  $d\Gamma$  به سیستم مختصات طبیعی لازم می‌باشد [۲۰]:

$$d\Gamma = \left| \frac{\partial r}{\partial \xi_1} \times \frac{\partial r}{\partial \xi_2} \right| d\xi_1 d\xi_2 = |J| d\xi_1 d\xi_2 \quad (8)$$

در این رابطه  $J$ ، ژاکوبین تبدیل مختصات محلی به کلی و اندازه آن یعنی  $|J|$ ، اندازه بردار نرمال بر سطح در نقطه مورد نظر می‌باشد. همچنین جزئیات محاسبه رابطه (۸) به تفصیل در مرجع [۲۰] ارائه گردیده است. در نهایت معادله انتگرال مرزی تغییرمکانی (۷) با استفاده از فرمول‌بندی‌های عددی فوق، به صورت زیر در می‌آید [۲۰]:

$$\begin{aligned} c^i u_s^i + \sum_{j=1}^{NE} \left\{ \int_{-1}^1 \int_{-1}^1 \Phi t^* |J| d\xi_1 d\xi_2 \right\} u_s^j \\ = \sum_{j=1}^{NE} \left\{ \int_{-1}^1 \int_{-1}^1 \Phi u^* |J| d\xi_1 d\xi_2 \right\} t_s^j \end{aligned} \quad (9)$$

با فرض هر گره به عنوان گره روی هم‌گذاری<sup>۱</sup> (نقطه اعمال بار) و انتگرال‌گیری عددی روی المان‌های مرزی، معادلات انتگرال مرزی به سیستم معادلات جبری خطی تبدیل می‌شوند [۲۰]:

$$Hu_s = Gt_s \quad (10)$$

ماتریس‌های تأثیر  $H^2$  و  $G$  شامل انتگرال‌هایی با هسته‌های  $t^*$  و  $u^*$  می‌باشند. به تعداد نقاط روی هم‌گذاری (گره‌های مرزی) معادله خواهیم داشت. با مرتب‌سازی معادله ماتریسی فوق یعنی قرار دادن تمامی مقادیر معلوم در سمت راست و بردن مجھولات گرهی به سمت چپ، دستگاه معادلات زیر حاصل می‌شود:

$$AX = B \quad (11)$$

-۳- فرمول‌بندی اندرکنش دو محیط در روش المان مرزی محیط نیمه بینهایت  $\Omega_h$  و ناحیه بسته  $\Omega_v$  را در نظر بگیرید (شکل (۲)). میدان جابه‌جایی مربوط به محیط نیمه

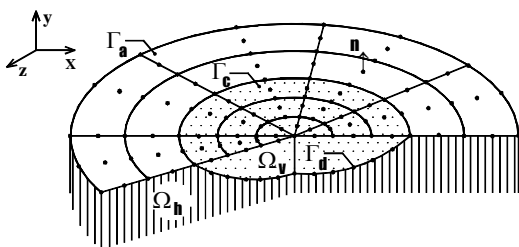
1- Collocation point

2- Influence matrices

با جایگذاری مقادیر تفرق یافته بر حسب مقادیر کل در رابطه (۲۳)، دستگاه معادلات با مجهولات جابه‌جایی و بردار تنش کل حاصل می‌شود [۲۲]:

$$\begin{bmatrix} \mathbf{H}_h & \mathbf{H}_h & 0 & -\mathbf{G}_h \\ 0 & \mathbf{H}_v & \mathbf{H}_v & \mathbf{G}_v \end{bmatrix} \begin{bmatrix} \mathbf{u}_h^a \\ \mathbf{u}_h^d \\ \mathbf{u}_v^c \\ \mathbf{t}_h^d \end{bmatrix} = \begin{bmatrix} \mathbf{H}_h(\mathbf{u}_o^a + \mathbf{u}_o^d) - \mathbf{G}_h(\mathbf{t}_o^a + \mathbf{t}_o^d) \\ 0 \end{bmatrix} \quad (24)$$

هرچند که در روابط فوق فرمول‌بندی مربوط به محیط‌های دو لایه ارائه شد ولی این روابط کلی بوده و برای محیط‌های چند لایه نیز قابل اعمال است.



شکل ۲- محیط نیمه بی‌نهایت سه‌بعدی  $\Omega_h$  و ناحیه بسته  $\Omega_v$

#### ۴- نتایج

##### ۱-۴- تأیید نتایج تحلیل الاستودینامیک سه بعدی محیط‌های محدود در فضای فرکانسی

به منظور تأیید نتایج تحلیل الاستودینامیک سه بعدی محیط‌های محدود در فضای فرکانسی، از مثال تیر طره استفاده شده است. در این مثال تیر طرهای به طول ۲۰ متر و سطح مقطع  $4 \times 4$  متر مربع که در معرض حرکت واحد تکیه‌گاهی در راستای قائم می‌باشد، مورد بررسی قرارمی‌گیرد. هندسه مسئله و نحوه المان‌بندی این تیر در شکل (۳) نشان داده شده است. مشخصات مصالح به کار رفته به شرح ذیل می‌باشد:

جرم مخصوص  $kg/m^3$  ۷۸۰۰، نسبت پواسون ۰.۳، مدول برشی  $N/m^2$   $8 \times 10^{11}$  و نسبت میرایی ۰.۰۵. تغییر مکان‌های نقطه میانی در مقطع انتهایی کنسول بر حسب فرکانس‌های بی بعد شده نسبت به فرکانس طبیعی ( $\omega_1 = 52.66 S^{-1}$ ) در شکل (۴) رسم گردیده است. در این مثال نتایج بدست آمده در تحقیق موجود با نتایج مرجع [۲۰] مقایسه شده است.

بسته  $\Omega_v$ ، با استفاده از روش المان مرزی از معادله ماتریسی زیر حاصل می‌شوند [۲۲]:

$$H_v u_v - G_v t_v = 0 \quad (18)$$

با مراجعه به شکل (۲) این معادله به فرم واضح‌تر زیر در می‌آید [۲۲]

$$H_v [u_v^c + u_v^d] - G_v [t_v^c + t_v^d] = 0 \quad (19)$$

با توجه به این که تنش کل  $t_v^c = 0$  می‌باشد رابطه فوق را می‌توان به شکل زیر نوشت [۲۲]:

$$H_v [u_v^c + u_v^d] - G_v t_v^d = 0 \quad (20)$$

حال دو معادله (۱۷) مربوط به محیط  $\Omega_h$  و (۲۰) مربوط به محیط  $\Omega_v$  می‌باشند. معادلات سازگاری و تعادل بر روی مرز مشترک  $\Gamma_d$  به صورت زیر می‌باشند:

$$\begin{aligned} \mathbf{u}_v^d &= \mathbf{u}_h^d \\ \mathbf{t}_v^d &= -\mathbf{t}_h^d \end{aligned} \quad (21)$$

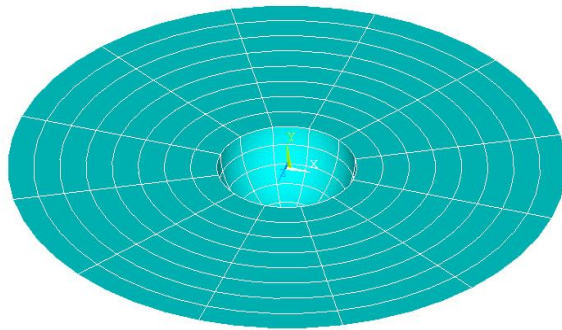
جابه‌جایی و بردار تنش کل بر روی مرز  $\Gamma_d$  از روابط  $\mathbf{t}_h^d = \mathbf{t}_s^d + \mathbf{t}_o^d$  و  $\mathbf{u}_h^d = \mathbf{u}_s^d + \mathbf{u}_o^d$  بدست می‌آیند. با اعمال این روابط در معادله (۹-۵) برای محیط  $\Omega_v$  خواهیم داشت [۲۲]:

$$H_v \mathbf{u}_v^c + H_v [\mathbf{u}_s^d + \mathbf{u}_o^d] - G_v [-\mathbf{t}_s^d - \mathbf{t}_o^d] = 0 \quad (22)$$

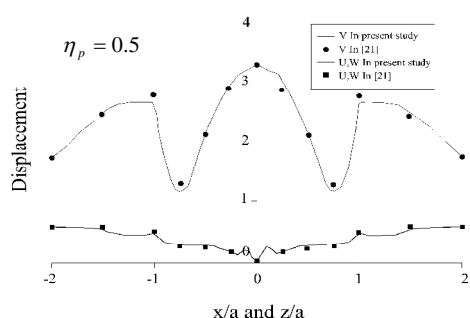
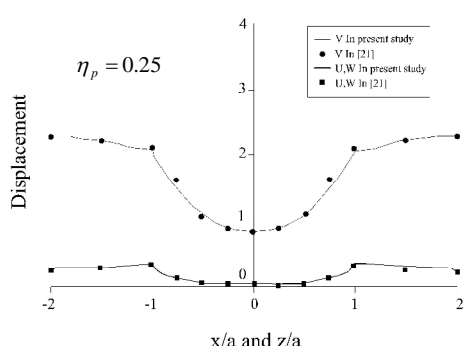
دستگاه معادلات حاصل از روابط (۱۷) و (۲۲) به صورت زیر می‌باشد [۲۲]:

$$\begin{bmatrix} \mathbf{H}_h & \mathbf{H}_h & 0 & -\mathbf{G}_h \\ 0 & \mathbf{H}_v & \mathbf{H}_v & \mathbf{G}_v \end{bmatrix} \begin{bmatrix} \mathbf{u}_s^a \\ \mathbf{u}_s^d \\ \mathbf{u}_v^c \\ \mathbf{t}_s^d \end{bmatrix} = \begin{bmatrix} -\mathbf{G}_v \mathbf{t}_o^a \\ -\mathbf{H}_v \mathbf{u}_o^d - \mathbf{G}_v \mathbf{t}_o^d \end{bmatrix} \quad (23)$$

جابه‌جایی کل  $\mathbf{u}_v$  روی سطح آزاد محیط  $\Omega_v$  مستقیماً از دستگاه معادلات فوق حاصل می‌شود، در حالی که جابه‌جایی‌ها و بردارهای تنش کل مربوط به محیط نیم بینهایت  $\Omega_h$  با استفاده از اصل جمع آثار قوا از معادلات (۱۳) بدست می‌آیند.



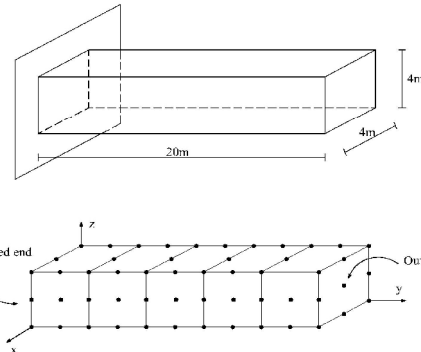
شکل ۵- المان‌بندی دره نیم کره



شکل ۶- بزرگنمایی مؤلفه‌های میدان جابه‌جایی سطحی در نیم کره برای برخورد قائم موج P در فرکانس‌های بی بعد

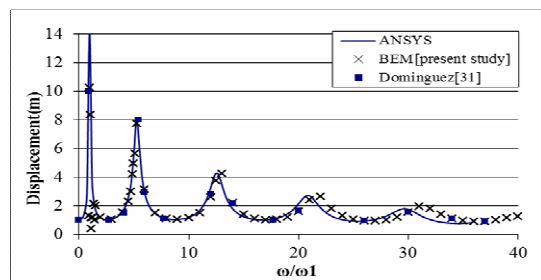
$$\eta_p = 0.5 \quad \text{و} \quad \eta_p = 0.25$$

فرکانس بی بعد  $\eta_p$  برابر نسبت قطر دره به طول موج امواج طولی در محیط می باشد ( $\eta_p = 2a/\lambda = \omega a/c_1\pi$ ).  $\omega$ .  $(\eta_p = 2a/\lambda = \omega a/c_1\pi)$  فرکانس واقعی موج P برخورده است. شاعر دره نیم کره است. نتایج مطالعات حاضر با خطوط پیوسته و نتایج Reinoso با دوایر توبیر نشان داده شده است. تمامی فواصل نسبت به شاعر دره بی بعد شده اند. همچنین میدان جابه‌جایی سطحی بر حسب مؤلفه‌های کارتزین  $v$ ,  $w$ ,  $u$  نمایش داده شده است. همان‌طور که مشاهده می شود، نتایج تحقیق حاضر تطابق خوبی با نتایج Reinoso دارند.



شکل ۳- شکل و نحوه المان‌بندی تیر طره با حرکت واحد

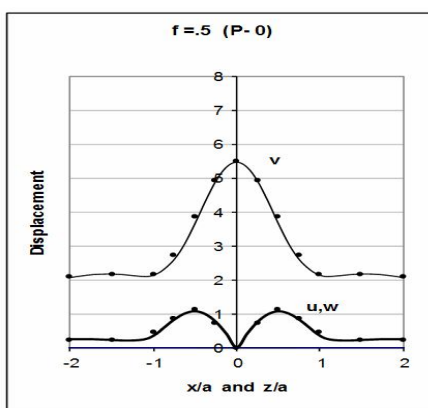
## تکیه‌گاهی در راستای قائم



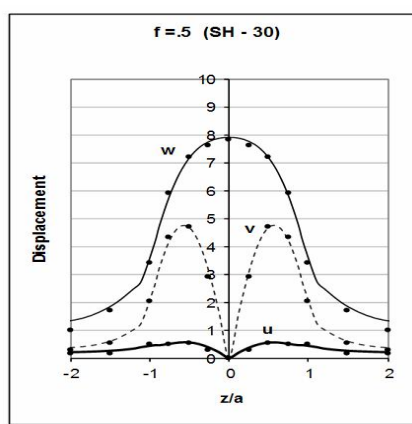
شکل ۴- تغییر مکان‌های نقطه میانی در مقطع انتهایی کنسول در معرض حرکت واحد تکیه‌گاهی

## ۴-۲-۴- تأیید نتایج انتشار امواج مسطح هارمونیک در محیط بی‌نهایت یک لایه

به منظور تأیید نتایج انتشار امواج مسطح هارمونیکی در محیط بی‌نهایت یک لایه، از مثال انتشار امواج در دره نیم کره استفاده گردیده است. در این مثال اثر توپوگرافی بر روی بزرگنمایی امواج زلزله بررسی می‌گردد. هندسه مسئله و نحوه المان‌بندی این دره در شکل (۵) نشان داده شده است. اولین تحقیقات در زمینه اثر دره‌های نیم کره روی دامنه حرکت امواج توسط Sanchez-Sesma [۲۳] برای برخورد قائم امواج P صورت گرفت. پس از او Dravinski و Eshraghi [۲۴] همین مسئله را به روش سطح توابع موج حل نمودند. پس از آن‌ها Reinoso [۲۲] این مسئله را به روش المان مرزی حل نمود. مشخصات مکانیکی محیط به صورت  $c_1 = \rho = 1$ ,  $c_2 = 0.577$ ,  $\mu = 0.33$ ,  $v = 0.25$  و  $\nu = 0.577$  می باشد، که  $\rho$  چگالی،  $\mu$  مدول بررشی و  $v$  ضریب پوآسن محیط می باشد. مقایسه نتایج Reinoso [۲۲] با نتایج حاصل از فرمول‌بندی‌های ارائه شده برای فرکانس‌های بی بعد  $\eta_p = 0.25, 0.5$  در شکل (۶) ارائه شده است.



شکل ۸- بزرگنمایی مؤلفه‌های میدان جابه‌جایی سطحی دره رسوی نیم کرده برای برخورد قائم  $P$  و فرکانس بی بعد  $\eta_p = 0.5$  نتایج تحقیق حاضر و مرجع [۲۲] به ترتیب با خطوط ممتد و نقاط دایره شکل نشان داده شده است.



شکل ۹- بزرگنمایی مؤلفه‌های میدان جابه‌جایی سطحی دره رسوی نیم کرده در راستای محور  $z$  تحت اثر موج SH با زاویه برخورد  $30^\circ$  نسبت به محور قائم  $y$  و آزیمут  $0^\circ$  (صفحه تابش  $xy$ ) و فرکانس بی بعد  $\eta_s = 0.5$  نتایج تحقیق حاضر و مرجع [۲۲] به ترتیب با خطوط ممتد و نقاط دایره شکل نشان داده شده است.

فرکانس بی بعد  $\eta_s$  برابر نسبت قطر دره رسوی به طول موج امواج برشی در محیط نیمه بینهایت می‌باشد. تمامی فوائل نسبت به شعاع دره رسوی بینهایت می‌باشد. برای موج SH میدان جابه‌جایی سطحی برای نقاط در راستای دو محور  $x$  و  $z$  برای فرکانس بی بعد  $\eta_s = 0.5$  (۹) در شکل های (۹) و (۱۰) موجود است.

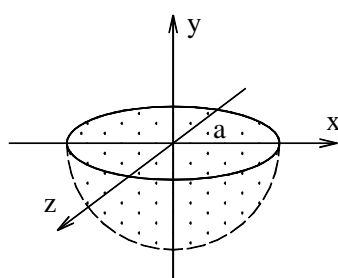
### ۳-۴- تأیید نتایج اندرکنش محیط محدود و محیط نیمه

#### بینهایت در تفرق امواج

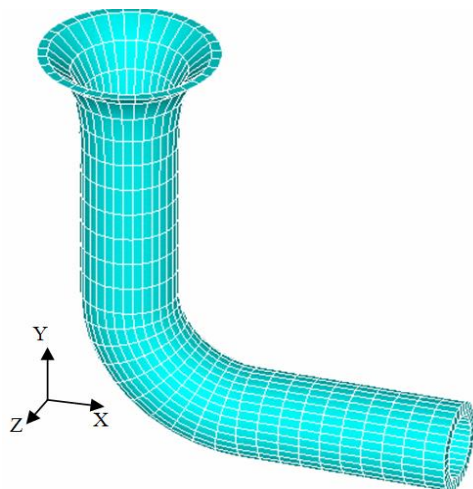
به منظور تأیید نتایج اندرکنش محیط محدود و محیط نیمه بینهایت در تفرق امواج، از مثال انتشار امواج در دره رسوی نیم کرده با یک لایه رسوی استفاده گردیده است. در این مثال اثر لایه‌بندی خاک و ضخامت و جنس خاک هر لایه بر روی تشدید امواج زلزله، مورد بررسی قرار می‌گیرند. هندسه این مثال در شکل (۷) نشان داده شده است. شعاع داخلی این دره رسوی  $a = 1$  می‌باشد.

نتایج بدست آمده توسط Reinoso [۲۲] برای اندرکنش سه بعدی دره رسوی نیم کرده تحت اثر برخورد قائم موج  $P$ ، برای بررسی صحت روش ارائه شده برای محیط‌های لایه‌ای در نظر گرفته شد. مقایسه نتایج Reinoso [۲۲] با نتایج حاصل از فرمول‌بندی‌های ارائه شده برای فرکانس بی بعد  $\eta_p = 0.5$  در شکل (۸) موجود است. فرکانس بی بعد  $\eta_p$  برابر نسبت قطر دره رسوی به طول موج امواج طولی در محیط نیمه بینهایت می‌باشد  $P$  فرکانس واقعی موج  $P$  برابر  $\omega_p = 2a/\lambda = \omega a/c_1\pi$ . فرکانس  $\omega$  شعاع دره رسوی می‌باشد. مشخصات مکانیکی محیط نیمه بینهایت به صورت  $v_{hs} = 0.25$ ،  $\mu_{hs} = \rho_{hs} = 1$  و  $v_v = 0.3$ ،  $\mu_v = 0.6$ ،  $\rho_v = 0.3$  مقداری مربوط به دره رسوی به صورت امواج برشی در محیط نیمه بینهایت برابر ۱ و سرعت مربوط به امواج طولی برابر  $\sqrt{3}$  می‌باشد. نتایج مطالعات حاضر با خطوط پیوسته و نتایج Reinoso با دوابر توپر نشان داده شده است.

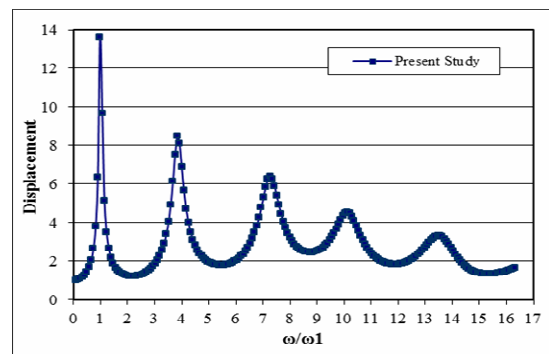
همچنین این دره تحت اثر موج SH با زاویه برخورد  $30^\circ$  نسبت به محور قائم قرار گرفت. خصوصیات مصالح محیط نیمه بینهایت مشابه دره رسوی فوق و مقداری مربوط به دره رسوی برابر  $v_v = 0.3$ ،  $\rho_v = 1$ ،  $\mu_v = 0.2025$  می‌باشد. مؤلفه‌های جابه‌جایی سطحی برای نقاط در راستای دو محور  $x$  و  $z$  برای فرکانس بی بعد  $\eta_s = 0.5$  (۹) در شکل های (۹) و (۱۰) موجود است.



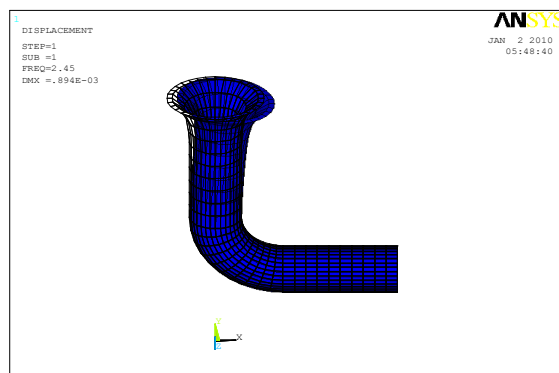
شکل ۷- دره رسوی نیم کرده به شعاع  $a$



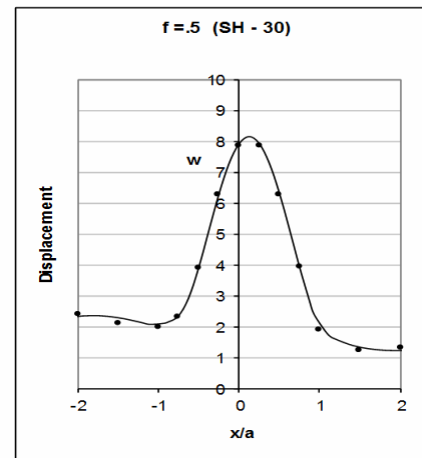
شکل ۱۱- هندسه و نحوه المان بندی سرریز نیلوفری در معرض حرکت واحد تکیه‌گاهی



شکل ۱۲- تغییر مکان نقطه بالای سرریز در معرض حرکت واحد تکیه‌گاهی در مقابل فرکانس‌های بی بعد شده



شکل ۱۳- نمایی از تغییر شکل مد اول سرریز مدل شده در نرم‌افزار ANSYS



شکل ۱۰- بزرگنمایی مؤلفه‌های میدان جابه‌جایی سطحی دره رسوبی نیم‌کره در راستای محور  $x$  تحت اثر موج SH با زاویه برخورد  $30^\circ$  نسبت به محور قائم  $y$  و آزیموت  $0^\circ$  (صفحة تابش  $xy$ ) و فرکانس بی بعد  $0.5 \eta_S = 0.5$  نتایج تحقیق حاضر و مرجع [۲۲] به ترتیب با خطوط ممتدا و نقاط دایره شکل نشان داده شده است.

۵- نتایج عددی تحلیل دینامیکی مدل سرریز نیلوفری

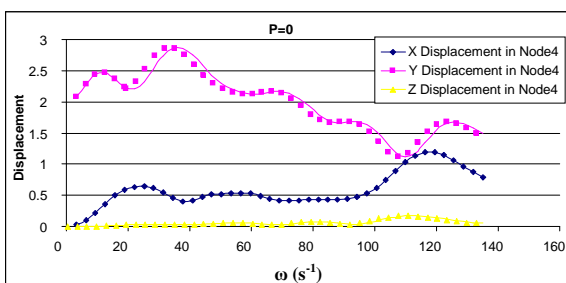
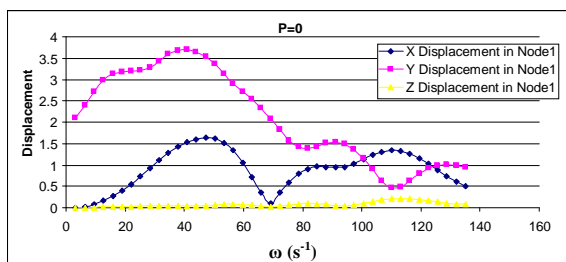
سد بارزو شیروان

۶- تحلیل دینامیکی مدل سرریز نیلوفری بدون در نظر گرفتن محیط اطراف

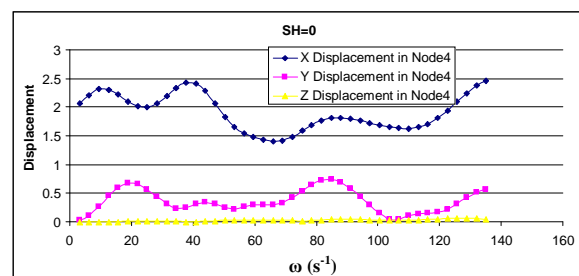
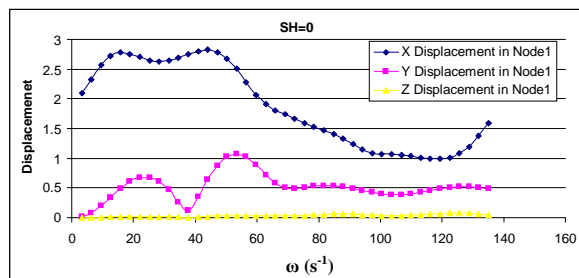
در این مثال تحلیل دینامیکی مدل سرریز نیلوفری بدون در نظر گرفتن محیط اطراف آن در فضای فرکانسی مورد بررسی قرار می‌گیرد. هندسه مسئله و نحوه المان‌بندی این سرریز در شکل (۱۱) نشان داده شده است. مشخصات مصالح به کار رفته به شرح مقابله می‌باشد: جم مخصوص  $2400 \text{ kg/m}^3$ ، نسبت پواسون ۰.۲، مدول برشی  $7.5 \times 10^9 \text{ N/m}^2$ ، نسبت میرایی ۰.۰۵

به منظور بررسی محیط اطراف سرریز نیلوفری بر پاسخ دینامیکی آن، قسمتی از سرریز که در داخل خاک قرار دارد در دو راستا (y,z) کاملاً مقید می‌شود و در راستای سوم (x) تغییر مکان واحد اعمال می‌گردد. تغییر مکان بالاترین نقطه سرریز در راستایی که تغییر مکان واحد اعمال گردیده است (x)، در فرکانس‌های مختلف بررسی می‌گردد. تغییر مکان‌ها بر حسب فرکانس بی بعد شده نسبت به فرکانس طبیعی چرخشی همچنین لازم به ذکر است که فرکانس طبیعی اول سازه مطابق (۱۲) در شکل ( $\omega_1 = 15.386 \text{ s}^{-1}$ ) رسم گردیده است. شکل (۱۳) از نرم‌افزار ANSYS بدست آمده است.

مدل تهیه شده تحت برخورد امواج P, SH و SV با زوایای مختلف مورد بررسی قرار گرفته است. مؤلفه های جابه جایی سطحی برای دو نقطه (یکی در مرز مشترک سطح آزاد پی و سطح سازه و دیگری در فاصله دورتر بر روی سطح آزاد، همچنان که در شکل (۱۴) نشان داده شده است)، در شکل های (۱۵) و (۱۶) نشان داده شده است.



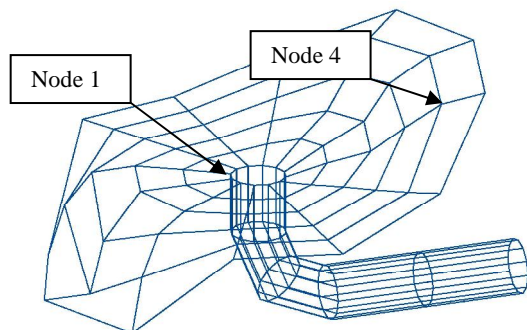
شکل ۱۶- بزرگنمایی مؤلفه های میدان جابه جایی سطحی خاک اطراف سرریز در اثر برخورد موج P با زاویه صفر



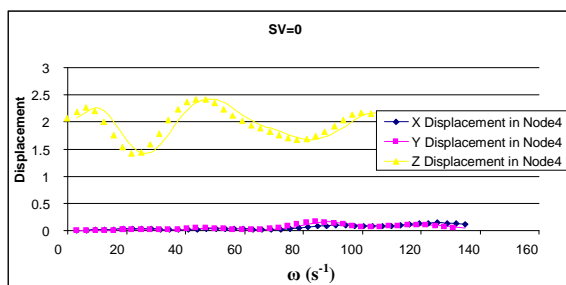
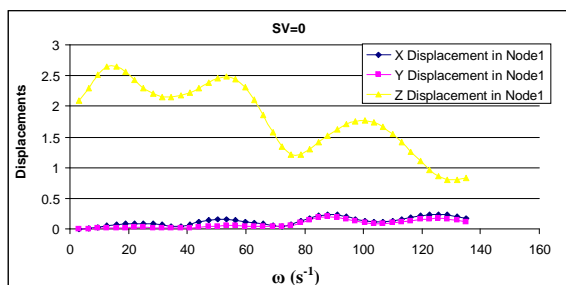
شکل ۱۷- بزرگنمایی مؤلفه های میدان جابه جایی سطحی خاک اطراف سرریز در اثر برخورد موج SH با زاویه صفر

## ۲-۵- انتشار امواج مسطح هارمونیک در خاک اطراف سرریز

در این مثال با استفاده از نرم افزار تهیه شده مسئله انتشار امواج مسطح هارمونیک در خاک اطراف سرریز مورد بررسی قرار می گیرد. هندسه مسئله و نحوه المان بندی خاک اطراف سرریز در شکل (۱۴) نشان داده شده است. همچنین مشخصات مصالح به کار رفته برای خاک اطراف سرریز به شرح مقابل می باشد: سنگ آهک دارای لایه های شیلت با جرم مخصوص ۲۶۰۰ kg / m<sup>3</sup>, نسبت پواسون ۰.۳، مدول برشی  $9 \times 10^9 N/m^2$  و نسبت میرایی ۰.۰۵.

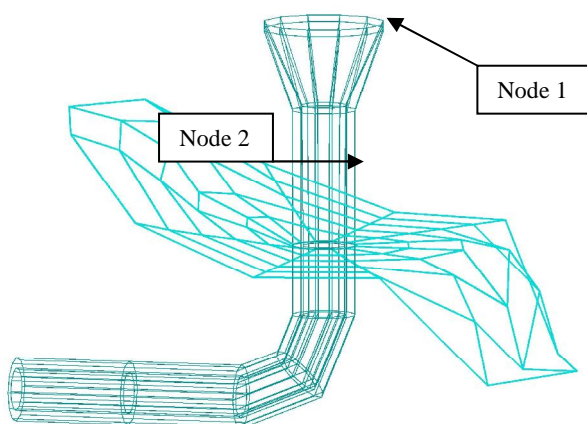


شکل ۱۴- هندسه و نحوه المان بندی خاک اطراف سرریز



شکل ۱۸- بزرگنمایی مؤلفه های میدان جابه جایی سطحی خاک اطراف سرریز در اثر برخورد موج SV با زاویه صفر

شکل نامنظم آن است که باعث ایجاد چنین شکل هایی می گردد. همچنین به دلیل وقوع پدیده میرایی تشعشعی در فرکانس های بالاتر دامنه تغییر مکان ها بسیار کم می گردد. شکل های (۲۲)، (۲۳) و (۲۴) نشان دهنده مؤلفه های جایه جایی تحت اثر برخورد موج P و شکل های (۲۵)، (۲۶) و (۲۷) نشان دهنده مؤلفه های جایه جایی تحت اثر برخورد موج SH با زاویه صفر درجه می باشند. همچنان که در این شکل ها مشاهده می گردد بیشترین تغییر مکان سازه در حالت برخورد موج P در جهت Y دستگاه مختصات و بیشترین تغییر مکان سازه در حالت برخورد موج SH در جهت X دستگاه مختصات می باشد.



شکل ۱۸- نمایی از سرریز نیلوفری و پی اطراف آن

## ۶- نتیجه گیری

در تحقیق حاضر با استفاده از روش المان های مرزی در فضای فرکانسی به بررسی پاسخ دینامیکی سازه ها با در نظر گرفتن اندرکنش سازه - پی به صورت سه بعدی پرداخته شد. مثال موردي استفاده شده در این مقاله، سرریز نیلوفری مربوط به سد بارزو شیروان می باشد. با توجه به محل قرارگیری سازه امکان وقوع زلزله در زمانی که اطراف سرریز آب نیست، وجود دارد. بنابراین در نظر گرفتن سرریز در حالتی که تنها تحت تأثیر پی قرار دارد موضوع مهمی می باشد و بایستی به طور کامل مورد بررسی قرار گیرد. به منظور بررسی صحت فرمول بندی ارائه شده، مثال هایی ارائه گردید. سپس به منظور بررسی سازه مذکور در ابتدا فرکانس طبیعی این سازه به دست آمد و پاسخ این سازه در اثر حرکت تکیه گاه صلب مورد بررسی قرار گرفت. در ادامه پاسخ دینامیکی سازه با در نظر گرفتن اندرکنش سازه و پی بررسی گردید.

## ۳-۵- تحلیل دینامیکی سرریز نیلوفری با در نظر گرفتن اندرکنش خاک و سازه

در این مثال به بررسی تحلیل دینامیکی مدل سرریز نیلوفری با در نظر گرفتن اندرکنش خاک و سازه، در فضای فرکانسی پرداخته شده است. طبق نقشه های موجود تاج سرریز در رقوم ۱۸۸ متر بوده و دارای قطر دهانه ۲۳ متر می باشد و پروفیل قیف سرریز تا تراز  $171/5$  متر ادامه دارد و پس از آن قطر داخلی سرریز ثابت و برابر ۸ متر می گردد و به همین شکل تا رقوم  $151/8$  متر ادامه داشته و سپس با یک قوس دایروی به شعاع ۱۶ متر به تونل انحراف متصل می شود. هندسه و نحوه المان بندی این مثال در شکل (۱۸) نشان داده شده است.

همچنین مشخصات مصالح به کار رفته به شرح زیر می باشد:

سرریز نیلوفری: بتن با جرم مخصوص  $2400 \text{ kg/m}^3$ ، نسبت پواسون  $0.2$ ، مدول برشی  $7.5 \times 10^9 \text{ N/m}^2$  و نسبت میرایی  $0.05$ .

پی: سنگ آهک دارای لایه های شیلت با جرم مخصوص  $2600 \text{ kg/m}^3$ ، نسبت پواسون  $0.3$ ، مدول برشی  $9 \times 10^9 \text{ N/m}^2$  و نسبت میرایی  $0.05$ .

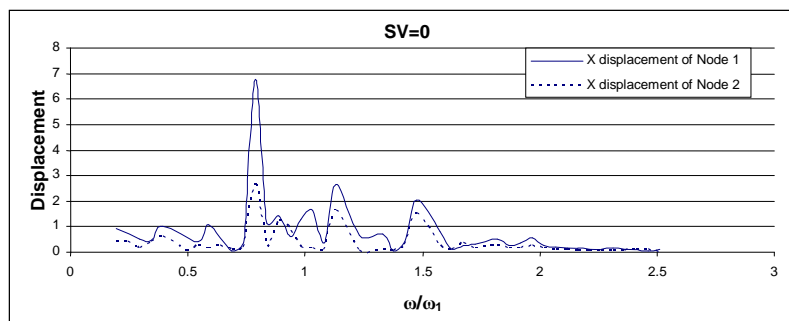
مدل تهیه گردیده تحت برخورد امواج P و SV با زوایای مختلف مورد ارزیابی قرار گرفته است. مؤلفه های جایه جایی سطحی برای دو نقطه (یکی در بالای سرریز و دیگری در مرز مشترک سطح آزاد پی و سطح سازه) در شکل های (۱۹) تا (۲۷) نشان داده شده است [۲۵]. لازم به ذکر است که در این شکل ها فرکانس های موج تابیده شده با فرکانس طبیعی اول سازه  $(f_h=2.54 \text{ hz})$  نرمالیزه شده است.

شکل های (۱۹)، (۲۰) و (۲۱) نشان دهنده مؤلفه های جایه جایی تحت اثر برخورد موج SV با زاویه صفر درجه می باشد. همچنان که در این شکل ها مشاهده می گردد، بیشترین تغییر مکان در سازه در جهت Z دستگاه مختصات می باشد. دلیل این موضوع نحوه برخورد موج SV می باشد که بیشترین نوسان در سازه در جهت عمود بر مسیر انتشار موج ایجاد می گردد که در این حالت محور Z عمود بر راستای انتشار موج SV می باشد. همچنین مشاهده می گردد که در فرکانسی کمتر از فرکانس اول طبیعی سازه، بیشترین تغییر مکان در سازه ایجاد می شود که دلیل آن کاهش سختی سیستم نسبت به حالتی است که برای سرریز تکیه گاه صلب در نظر گرفته شده است. در این شکل ها قله هایی به صورت موضعی و بین فرکانس های اصلی سازه مشاهده می گردد که دلیل آن وجود فونداسیون اطراف سازه و

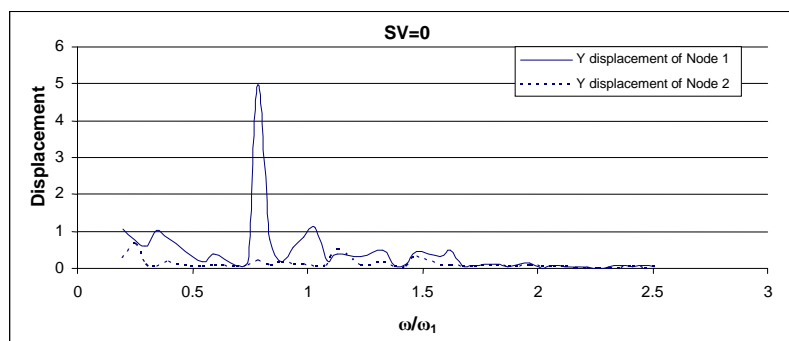
- ۳- انعطاف‌پذیری بستر باعث کاهش سختی سیستم و در نتیجه کاهش در فرکانس‌های مدهای ارتعاشی سیستم می‌گردد.
- ۴- در اثر برخورد امواج S به سازه، مد ارتعاشی اول سازه غالب می‌شود.
- ۵- اثرات ناشی از توپوگرافی سطحی، پاسخ‌های لرزه‌ای سازه را دستخوش تغییرات قرار داده است، به گونه‌ای که باعث ایجاد تحریک‌های موضعی در پاسخ لرزه‌ای سازه می‌گردد.

اثرات ناشی از توپوگرافی و نامنظمی زمین و تفرق امواج در روند حل این مسأله در نظر گرفته شده است. نتایج حاصل از بررسی اندرکنش سازه-پی را می‌توان به شرح ذیل خلاصه نمود:

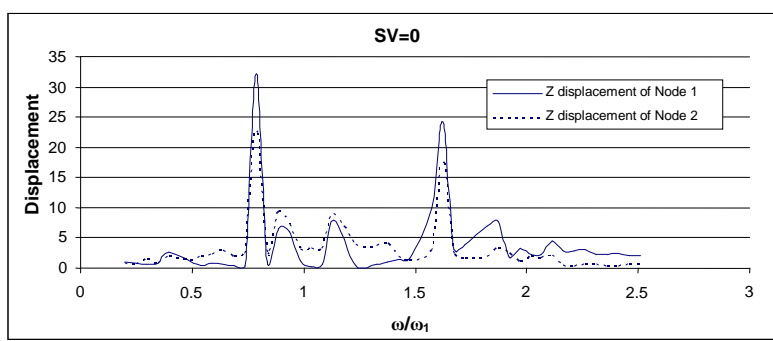
- ۱- به دلیل وقوع پدیده میرایی تشعشعی و تغییرات در مشخصه‌های دینامیکی سیستم در فرکانس‌های بالا، پاسخ‌ها در حالت وجود بستر نیمه نامحدود همگن در مقایسه با حالت بستر صلب عموماً کاهش می‌یابند.



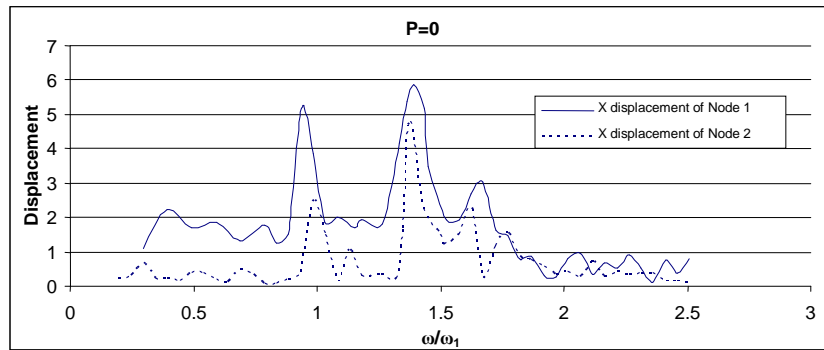
شکل ۱۹- بزرگنمایی مؤلفه X میدان جابه‌جایی سطحی سریز نیلوفری با در نظر گرفتن اندرکنش آن با پی در دو گره ۱ و ۲ تحت برخورد موج SV با زاویه صفر و آزمیوت صفر درجه



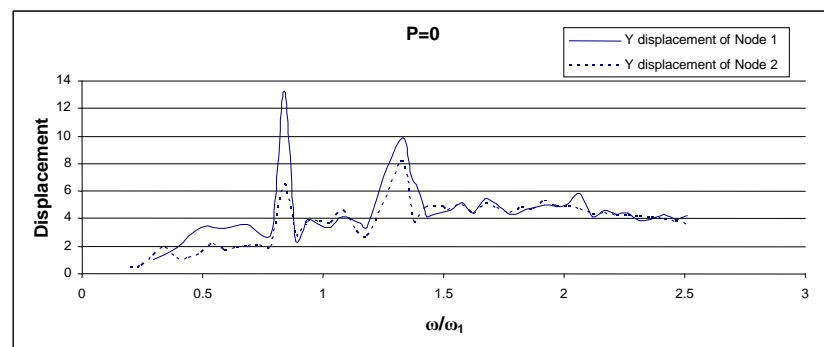
شکل ۲۰- بزرگنمایی مؤلفه Y میدان جابه‌جایی سطحی سریز نیلوفری با در نظر گرفتن اندرکنش آن با پی در دو گره ۱ و ۲ تحت برخورد موج SV با زاویه صفر و آزمیوت صفر درجه



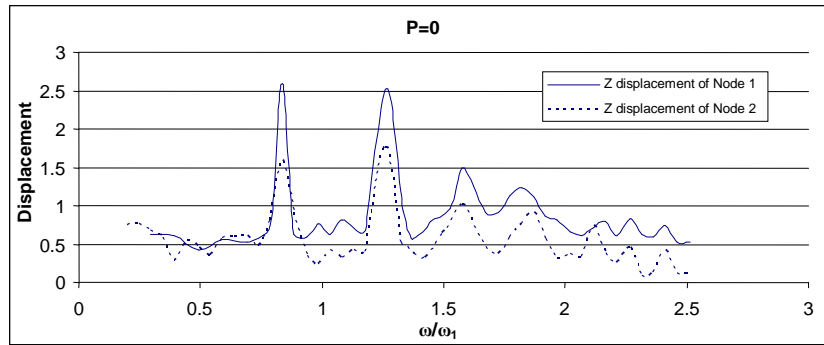
شکل ۲۱- بزرگنمایی مؤلفه Z میدان جابه‌جایی سطحی سریز نیلوفری با در نظر گرفتن اندرکنش آن با پی در دو گره ۱ و ۲ تحت برخورد موج SV با زاویه صفر و آزمیوت صفر درجه



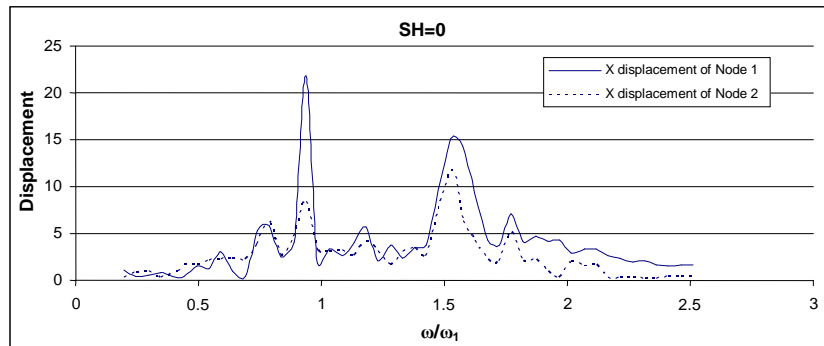
شکل ۲۲- بزرگنمایی مؤلفه X میدان جابه‌جایی سطحی سریز نیلوفری با در نظر گرفتن اندرکنش آن با پی در دو گره ۱ و ۲ تحت برخورد موج P با زاویه و آزمیوت صفر درجه



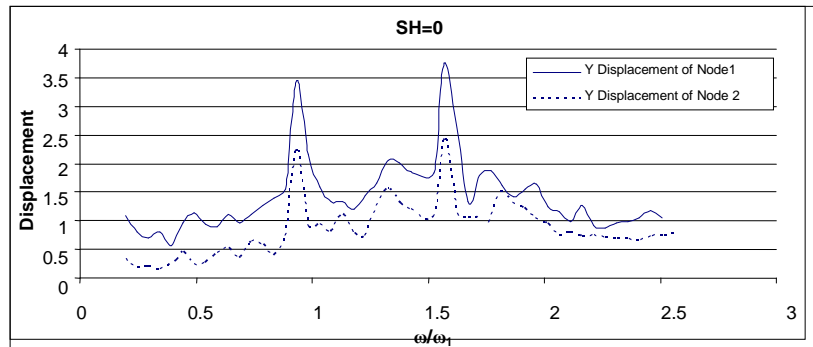
شکل ۲۳- بزرگنمایی مؤلفه Y میدان جابه‌جایی سطحی سریز نیلوفری با در نظر گرفتن اندرکنش آن با پی در دو گره ۱ و ۲ تحت برخورد موج P با زاویه و آزمیوت صفر درجه



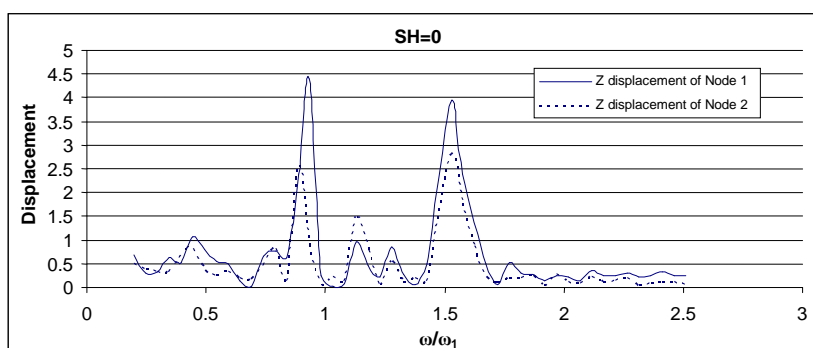
شکل ۲۴- بزرگنمایی مؤلفه Z میدان جابه‌جایی سطحی سریز نیلوفری با در نظر گرفتن اندرکنش آن با پی در دو گره ۱ و ۲ تحت برخورد موج P با زاویه و آزمیوت صفر درجه



شکل ۲۵- بزرگنمایی مؤلفه X میدان جابه‌جایی سطحی سریز نیلوفری با در نظر گرفتن اندرکنش آن با پی در دو گره ۱ و ۲ تحت برخورد موج SH با زاویه و آزمیوت صفر درجه



شکل ۲۶- بزرگنمایی مؤلفه Y میدان جابه‌جایی سطحی سریز نیلوفری با در نظر گرفتن اندرکنش آن با پی در دو گره ۱ و ۲ تحت برخورد موج SH با زاویه و آزیموت صفر درجه



شکل ۲۷- بزرگنمایی مؤلفه Z میدان جابه‌جایی سطحی سریز نیلوفری با در نظر گرفتن اندرکنش آن با پی در دو گره ۱ و ۲ تحت برخورد موج SH با زاویه و آزیموت صفر درجه

1985: Chile and Mexico", Proceedings of the International Symposium of Engineering Geology Problems in Seismic Areas, Bari, Italy, 1986.

- [6] Finn, W. D. L., Ventura, C. E., Schuster, N. D. "Ground Motions During the 1994 Northridge Earthquake", Canadian Journal of Civil Engineering, 1995, 22 (2), 300-315.
- [7] Hiroshi, K., "The Cause of the Damage Belt in Kobe: the Basin-Edge Effect Constructive Interference of the Direct S-Wave with the Basin-Induced Diffracted/Rayleigh Waves", Seismological Research Letters, 1996, 67(5), 25-30.
- [8] Athanasopoulos, G. A., Pelkis, P. C., Leonidou, E. A. "Effect of Surface Topography on Seismic Ground Response in the Egion (Greece) 15 June 1995 earthquake", International Journal of Soil Dynamics and Earthquake Engineering, 1999, 18, 135-149.
- [9] Wong, H. L. Luco, J. E. "Dynamic Response of Rigid Foundations of Arbitrary Shape",

#### - مراجع - ۷

- [1] Angat, A., "Le tremblement de terre de provence (11 Juin 1909), annales du bureau central meterologique de France", Memories, 1909. pp. 37-93.
- [2] Brambati, A., Faccioli, E., Carulli, E. B., Culchi, F., Onofri, R., Stefanni, S., Ulcigrai, F., "Studio de microzonizzazione sismica dell'area di tarcento (Friuli)", Edito da regiona autonoma Friuli venezia giulia, 1980.
- [3] Siro, L., "Southern Italy November 23 1980 Earthquake", Proceeding of the 7<sup>th</sup> European Conference on Earthquake Engineering, Athens, Greece, 1982, pp. 20-25.
- [4] Singh, S. K., Lermo, J., Dominguez, J., Ordaz, M., Espinosa, J. M., Mena, E., Quaas, R., "The Mexico Earthquake of September 19, 1985, A study of Amplification of Seismic Waves in the Valley of Mexico with Respect to a Hill Zone Site", Earthquake Spectra, 1988, 4, 653-673.
- [5] Celebi, M., Hanks, T. "Unique Site Response Condition of Two Major Earthquakes of

- "Boundary Element Approach to the Dynamic Stiffness Functions of Circular Foundations", International Journal Numerical and Analytical Methods in Geomechanics, 1989, 13, pp. 645-664.
- [19] Emperador, J. M. Dominguez, J., "Dynamic Response of Axisymmetric Embedded Foundations", Earthquake Engineering and Structural Dynamics, 1989, 18, pp. 1105-1117.
- [20] Dominguez, J., "Boundary Elements in Dynamics", Computational Mechanics Publications, Southampton, U.K., 1993.
- [21] Song, L. Lajtai, E. Z., "Modeling the Stress-Strain Diagram for Brittle Rock Loaded in Compression", Mechanics of Materials, 1998, 30, (3), pp. 243-251.
- [22] Reinoso, E., "Scattering of Seismic Waves: Applications to the Mexico City Valley", WIT Press, London, 2002.
- [23] Sanchez-Sesma, F. J., "Diffraction of Elastic Waves by Three-Dimensional Surface Irregularities", Bulletin of the seismological society of America, 1983, 73, 1621-1636.
- [24] Eshraghi, H., Dravinski, M. "Scattering of Plane Harmonic SH, SV, P and Rayleigh Waves by Non-Axisymmetric Three-Dimensional Canyons: A Wave Function Expansion approach", International Journal Earthquake Engineering and Structural Dynamics, 1989, 18, 983-998.
- [۲۵] صنایع‌ها، ع. "محاسبه فشار هیدرودینامیکی وارد بر سریز نیلوفری با درنظر گرفتن اندرکنش سریز با مخزن و بی"، پایان‌نامه کارشناسی ارشد مهندسی سازه، دانشکده فنی، دانشگاه تهران. ۱۳۸۸.
- Earthquake Engineering and Structural Dynamics, 1976, 4, 579-587.
- [10] Wong, H. L. Trifunac, M. D., "Scattering of Plane SH Waves by a Semi-Elliptical Canyon", Earthquake Engineering and Structural Dynamics, 1974, 3, 157-169, 1974.
- [11] Sanchez-Sesma, F. J. Rosenblueth, E., "Ground Motion at Canyons of Arbitrary Shape under Incident SH Waves", Earthquake Engineering and Structural Dynamics, 1979, 7, 441-450.
- [12] Dominguez, J., "Dynamic Stiffness of Rectangular Foundations", Research Report R78-20, Dept. Civil Engrg., Massachusetts Inst. of Tech. Cambridge, Mass, 1978.
- [13] Ottenstreuer, M. Schmid, G., "Boundary Elements Applied to Soil-Foundation Interaction", 3<sup>rd</sup> International Seminar on Recent Advances in Boundary Element Methods, Irvine, Calif., Springer-Verlag, 1981, pp. 293-309.
- [14] Ottenstreuer, M., "Frequency Dependent Dynamic Response of Footings", Soil Dynamics and Earthquake Engineering Conference, Southampton, England, Springer-Verlag, 1982, pp. 799-809.
- [15] Abascal, R. Dominguez, J., "Vibrations of Footings on Zoned Viscoelastic Soil", Journal of Engineering Mechanics, ASCE, 1986, 112, pp. 433-447.
- [16] Apsel, R. J. Luco, J. E., "On Green's Functions for a Layered Half- Space: Part II", Bulletin of the seismological society of America, 1983, 73, 931-951.
- [17] Gomez-Lera, M. S., Dominguez, J. Alarcon, E., "On the Use of 3-D Fundamental Solutions for Axisymmetric Steady-State Dynamic Problems", 7<sup>th</sup> International Conferences on BEM in Engineering, Ed. C.A. Brebbia, Springer-Verlag, 1985.
- [18] Alarcon, E., Cano, J. J. Dominguez, J.,